

УДК 677.052.3

**АНАЛИТИЧЕСКОЕ ОПРЕДЕЛЕНИЕ ДЛИНЫ
ПРОСТРАНСТВЕННОЙ ФОРМЫ БАЛЛОНИРУЮЩЕЙ НИТИ
НА КОЛЬЦЕВОЙ ПРЯДИЛЬНОЙ МАШИНЕ**

**ANALYTICAL DETERMINATION OF THE DIMENSIONAL
FORM LENGTH OF A BALLOONING YARN
AT A RING SPINNING MACHINE**

Н.Л. УШАКОВА, Е.И. УШАКОВ, Г.И. ЧИСТОБОРОДОВ
N.L. USHAKOVA, E.I. USHAKOV, G.I. CHISTOBORODOV

**(Южно-Российский государственный университет экономики и сервиса,
Ивановская государственная текстильная академия)**
**(South Russian State University of Economics and Service,
Ivanovo State Textile Academy)**
E-mail: ushakova20082008@yandex.ru

Целью исследования является оценка воздействия силовых факторов на параметры баллонизирующей нити, которые предложено определять в безразмерных единицах.

The study aims to assess the impact of power factors on the parameters of ballooning threads that are suggested to define in dimensionless units.

Ключевые слова: пространственная форма, баллонизирующая нить, образующая, длина нити, безразмерные единицы, центробежная сила, лобовое сопротивление, сила Кориолиса.

Keywords: a dimensional form, a ballooning thread, length of a thread, dimensionless units, centrifugal force, front resistance, the Koriolis force.

На баллонирующую нить действуют активные силы: аэродинамическое сопротивление; сила тяжести G нити; центробежная сила инерции C и Кориолисова сила инерции F . Аэродинамическое сопротивление, в свою очередь, раскладывается на лобовое сопротивление Q , подъемную силу P и боковое сопротивление, которое не учитываем, так как эксперименты с текстильными нитями его обнаружили [3]. Сопротивление Q и сила P определяются как [4]:

$$Q = 0,5C_x d_n \rho v^2 \ell, \quad (3)$$

$$P = 0,5C_y d_n \rho v^2 \ell, \quad (4)$$

где C_x, C_y – коэффициенты лобового сопротивления и подъемной силы соответ-

ственно, зависящие от угла атаки χ (угла между направлениями касательной к элементу нити dS и скоростью потока v в рассматриваемой точке); ρ – плотность воздуха; ℓ – длина нити, перпендикулярная движению.

Поскольку элемент dS расположен на образующей, то $\ell = dS$, $\chi = 90^\circ$ и $C_y = 0$. Тогда (4) равно нулю, то есть подъемная сила отсутствует. Это соответствует постоянной величине T_x для всех точек текущей формы нити [5], так как в вертикальной плоскости на единицу длины нити в баллоне действуют только силы G и T_x , уравновешивающие друг друга. Из этого с учетом (2) и $G = \mu_0 Lg$, где g – ускорение свободного падения, следует:

$$\mu_0 \omega_0^2 H^2 / [\pi - \arcsin(R/y_{\max})]^2 = \mu_0 = Lg \rightarrow y_{\max} = R / \sin(\pi - \omega_0 H / \sqrt{Lg}). \quad (5)$$

Из (5) $y_{\max} = f(R, H, \omega_0, L)$, что по-новому интерпретирует зависимость [4]:

$$y_{\max} = \sqrt{3\mu_0 R / 2\rho C_x d_n}.$$

Как, будет показано далее, параметры $\mu_0, \rho, C_x d_n$ определяют величину L и поэтому (5) учитывает большее количество параметров баллона.

Силы C, F, Q действуют в плоскости, перпендикулярной оси вращения баллона. Очевидно, что длина нити $L = \xi(x, y, \varphi)$, лежащая на виртуальной поверхности баллона, больше длины $S = j(x, y)$ его образующей. Считаем, что масса нити длиной L равна массе нити длиной S и это обусловлено растяжением последней под действием активных сил. При этом имеем зависимость:

$$(1+t)^m \approx 1 + \frac{mt}{1!} + \frac{m(m-1)}{2!} t^2 + \dots + \frac{m(m-1)\dots(m-n+1)}{n!} t^n. \quad (9)$$

Погрешность (9) можно сделать сколь угодно малой величиной. Для упрощения

$$\mu_0 L = \mu_n S = \lambda \mu_0 S \quad (\text{при } \mu_n = \lambda \mu_0, \lambda \neq 1), \quad (6)$$

где μ_n – линейная плотность материала нити в ненапряженном состоянии; λ – коэффициент пропорциональности. Тогда с учетом (6) центробежная сила инерции dC , действующая на элемент dS , равна ($\mu_0 = \text{const}$):

$$dC = \lambda \mu_0 \omega_0^2 y dS, \quad (7)$$

$$\text{где } dS = \sqrt{1+(y')^2} dx = \sqrt{1+(ka \cos ax)^2} dx. \quad (8)$$

Принимаем $t = (ka \cos ax)^2$ и разложим в ряд $\sqrt{1+(ka \cos ax)^2} = (1+t)^{1/2}$ с учетом

математических зависимостей положим $n=2$. Получим:

$$\sqrt{1+(ka \cos ax)^2} \approx \left(1+k^2 a^2 \cos^2 ax/2 - k^4 a^4 \cos^4 ax/8\right). \quad (10)$$

Для текущего положения баллона ($\omega_B = \text{const}$, $a = \text{const}$) после интегрирования

(7) с учетом (1), (10) и $\cos^2 A = 0,5(1 + \cos 2A)$ имеем:

$$C = \lambda \mu_0 \omega_0^2 k \sin ax \left[\left(1+k^2 a^2/4 - 3k^4 a^4/64\right)x + \left(k^2 a/8 - k^4 a^3/32\right) \sin 2ax - k^4 a^3 \sin 4ax/256 \right] + C_1, \quad (11)$$

где C_1 – постоянная интегрирования. Из граничных условий $C = 0$ при $y_{x=0} = 0$ получим $C_1 = 0$. После подстановки в (11) значения $x = 0,5\pi/a$ имеем максимальную

величину силы C_{\max} , формирующую текущую виртуальную поверхность гибкой оболочки и равную:

$$C_{\max} = 0,5\pi \lambda \mu_0 \omega_0^2 k a \left(1+k^2 a^2/4 - 3k^4 a^4/64\right), \quad (12)$$

при этом зависимость $C = f(x)$ подобна (1) и рис. 1, где в безразмерных единицах $y = y/H$, тогда $H = 1$. Текущее значение силы C , определяемое согласно (11) и выраженное в безразмерных единицах, определится как

$$C = y_{\max} C / C_{\max} H. \quad (13)$$

Кориолисова сила инерции dF , действующая на элемент dS , с учетом (6) равна:

$$dF = 2\lambda \mu_0 \omega_0 \sin \alpha dS, \quad (14)$$

где u – текущая линейная скорость движения элемента dS нити по контуру образующей баллона (текущая линейная скорость наматывания нити на початок, принимаем $u = \text{const}$); α – угол между направлениями векторов \bar{u} и $\bar{\omega}$, равный углу между осью вращения баллона и касательной к его образующей, так как элемент dS лежит на образующей баллона.

Подставив в (14)

$$\sin \alpha = \text{tg} \alpha / \sqrt{1 + \text{tg}^2 \alpha} = y' / \sqrt{1 + (y')^2},$$

а также (8), имеем:

$$F = 2\lambda \mu_0 \omega_0 k a \int \cos ax dx = 2\lambda \mu_0 \omega_0 k \sin ax + C_2, \quad (15)$$

где C_2 – постоянная интегрирования, определяемая из граничных условий $F = 0$ при $y = y_{\max}$, $x = 0,5\pi/a$, и равная $C_2 = -2\lambda \mu_0 \omega_0 k$. Знак (-) означает, что направление действия силы противоположно направлению вращения баллона.

Текущее значение силы F , определяемое согласно (15) и выраженное в безразмерных единицах, определится аналогично (13) как

$$F = y_{\max} F / C_{\max} H. \quad (16)$$

Зависимость $F = q(S)$ строится в безразмерных единицах на развертке поверхности баллона, при этом значения S сопоставляются с соответствующим значением x (рис. 3 – кривая изменения кориолисовой силы инерции). Аналогично далее строится и зависимость $Q = p(S)$.

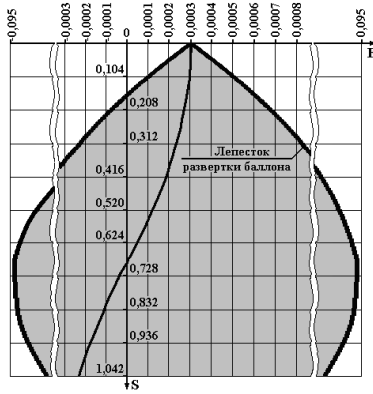


Рис. 3

$$Q=0,5C_x d_H \rho (\kappa \omega_B \sin \alpha)^2 + \left[\left(1 + k^2 a^2 / 4 - 3k^4 a^4 / 64 \right) x + \left(k^2 a / 8 - k^4 a^3 / 32 \right) \sin 2\alpha x - k^4 a^3 \sin 4\alpha x / 256 \right] + C_3, \quad (18)$$

где C_3 – постоянная интегрирования. Из граничных условий $Q=0$ при $y_{x=0}=0$ имеем $C_3 = 0$.

Текущее значение силы Q , определяемое согласно (18) и выраженное в безразмерных единицах, определится аналогично (13) как (рис. 4 – кривая изменения аэродинамической силы):

$$Q = y_{\max} Q / C_{\max} H. \quad (19)$$

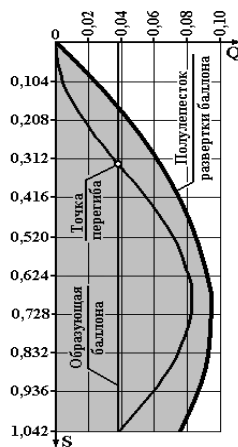


Рис. 4

$$L = \int_0^{S_{\text{ср}}} \sqrt{1 + (N')^2} dS \approx \int_0^{S_{\text{ср}}} \sqrt{1 + (Q')^2} dS = \int_0^{S_{\text{ср}}} \sqrt{1 + (dQ/dS)^2} dS. \quad (22)$$

После преобразования (17), подстановки его и (1), (8), (10) в (22), использования

Определим dQ с учетом (3), (7). Значение $C_x d_H$ выбирается из [4] согласно μ_0, χ . Элемент dS расположен на образующей и $\ell = dS, v = \omega_B y$. Имеем:

$$dQ = 0,5 C_x d_H \rho \omega_B^2 y^2 dS = 0,5 C_x d_H \rho y dC / \lambda \mu_0. \quad (17)$$

После подстановки (1) в (17) и последующего интегрирования получим:

Результирующая сила N , определяющая угол поворота φ образующей с расположенным на ней элементом dS , равна:

$$N = Q \pm F \approx Q, \quad (20)$$

так как величина F по сравнению со значением Q очень мала. При этом с учетом (1), (19) и безразмерных единиц N , у имеем параметр φ (град):

$$\varphi = 180N / \pi y \approx 180 y_{\max} Q / C_{\max} \pi \kappa \sin \alpha. \quad (21)$$

Бегунок формирует положение нити на поверхности баллона, так как он движется посредством ее натяжения, а также определяет направление изгиба нити относительно его образующей и точку перегиба нити (рис. 4), которая, как правило, не совпадает с точкой, имеющей y_{\max} . Длина L нити в баллоне, выраженная в безразмерных единицах, с учетом (20) и (17) равна:

(9) при $n = 2$ и дальнейшего интегрирования имеем:

$$L = \int_0^{S_{x=1}} \sqrt{1 + \left(0,5C_x d_n \rho \omega_B^2 y^2\right)^2} dS = \left(1 + k^2 a^2 / 4 - 3k^4 a^4 / 64 + 3\delta^2 / 16 + \right. \\ \left. + \delta^2 k^2 a^2 / 64 - 3\delta^2 k^4 a^4 / 2048 - 11\delta^4 k^2 a^2 / 4096\right) x + \left(k^2 a / 8 - k^4 a^3 / 32 - \delta^2 / 8 a - \right. \\ \left. - \delta^2 k^2 a / 256 + 11\delta^4 k^2 a / 8192\right) \sin 2ax - \left(k^4 a^3 / 256 + \delta^2 / 64 a - \delta^2 k^2 a / 256 + \right. \\ \left. + \delta^2 k^4 a^3 / 2048 + 3\delta^4 k^2 a / 4096\right) \sin 4ax + \left(\delta^2 k^2 a / 768 - 21\delta^4 k^2 a / 49152\right) \sin 6ax - \\ \left. - \left(\delta^2 k^4 a^3 / 16384 + \delta^4 k^2 a / 32768\right) \sin 8ax - \delta^4 k^2 a \sin 10ax / 81920, \quad (23)\right.$$

где $\delta = \left(0,5C_x d_n \rho \omega_B^2 y^2\right) / \left(C_{\max} / H\right)$; $k = k/H$;
 $a = aH$; $x = x/H$. Для перевода параметра L
в размерные единицы его следует умно-
жить на H .

ВЫВОДЫ

1. Показано, что центробежная, аэро-
динамическая силы, а также сила Корио-
лиса зависят от уравнения образующей
баллона. Предложено эти силы определять
в безразмерных единицах.

2. Аналитически определена простран-
ственная форма баллонизирующей нити, а
также ее длина за период одного оборота
бегунка.

ЛИТЕРАТУРА

1. *Barr A.E.* A Descriptiv Account of Yern Tension and Ballon Shapes in Ring Spinning // Journal of the textile Institute. – 1958, № 2. P. 58...88.
2. *Ушаков Е.И., Ушакова Н.Л.* Определение адекватности двух решений уравнения плоского баллона в кольцепрядении // Вестник научно-технического общества. – М.: «АЛЕВ-В», 2003, №6. С. 20... 27.
3. *Каган В.М.* Взаимодействие нити с рабочими органами текстильных машин. – М.: Легкая и пищевая промышленность, 1984.
4. *Павлов Г.Г.* Аэродинамика технологических процессов и оборудования текстильной промышленности. – М.: Легкая индустрия, 1975.
5. *Минаков А.П.* О форме баллона и натяжении нити в крутильных машинах // Изв. Московского текстильного института. – М.: МТИ. Т.2. 1929.

Рекомендована кафедрой текстильного производства ЮРГУЭС. Поступила 27.11.11.